

Длительность акцепторной зависимости фитомеров и колоса побега пшеницы

*Г.А. Козлечков, к.б.н., О.А. Целуйко, к.с.-х.н.,
Донской зональный НИИСХ РАСХН*

В побеге пшеницы базовым повторяющимся строительно-функциональным блоком является фитомер. Фитомер состоит из трёх взаимосвязанных частей: листовой пластинки (лп) – листового влагалища (лв) – междоузлия (мд) с почкой в его основании, если междоузлие укороченное. В фитоморфологии установлено, что части фитомера растут в строгой последовательности: вначале – лп, затем – лв и завершает рост мд. Зоны роста лп, лв, мд, благодаря остаточной интеркалярной меристеме, всегда находятся в их основании и под защитой трубки из влагалищ уже выросших листьев [1].

Последовательно закладывающиеся на конусе нарастания и затем формирующиеся фитомеры строят физическую ось побега и его листовую фотосинтезирующую поверхность. Такая структура ростовых процессов приводит к тому, что формирующиеся фитомеры от момента заложения их зачатков, а также и зачатка будущего колоса, и по момент появления их листовых пластинок (а также вершины колоса) под непосредственное прямое освещение (начало автотрофного питания) находятся в полной акцепторной зависимости от предыдущих уже выросших листьев, которые поставляют часть своих ассимилятов на их формирование. Как указывает А.Л. Курсанов, принципиальная схема транспорта и распределения ассимилятов в целом растении состоит в том, что зоны, находящиеся

в состоянии роста, ориентируют на себя поток ассимилятов [2]. Исследования показывают, что закономерности морфогенеза впервые позволяют не только зафиксировать, но и измерить длительность акцепторной зависимости как фитомеров, так и колоса.

Материалы и методы исследований. Экспериментальная часть работы выполнена в ГНУ Донской НИИСХ Россельхозакадемии. Объекты исследований – виды пшениц коллекции ВИР. Применяли системную методику исследований, разработанную на базе пшениц различной ploидности и геномного состава [3, 4].

Результаты исследований. Природа побега пшеницы как системы упорядоченно взаимосвязанных вегетативных и репродуктивных органов при морфогенетическом исследовании позволяет отразить ход их формирования во времени в виде необратимых последовательностей их морфологических состояний и структурных моделей. В основе такой возможности лежат следующие явления.

1. Это строгая необратимая последовательность хода формирования эмбриональных структур фитомера и последовательных этапов роста его листовой пластинки, листового влагалища и междоузлия (рис. 1, 2). Условия среды могут приостановить ростовые формообразовательные процессы, но характер последовательности изменить не могут.

2. Заложение зачатков фитомеров, формирование их эмбриональных структур и этапы роста их частей происходят в едином ритме,

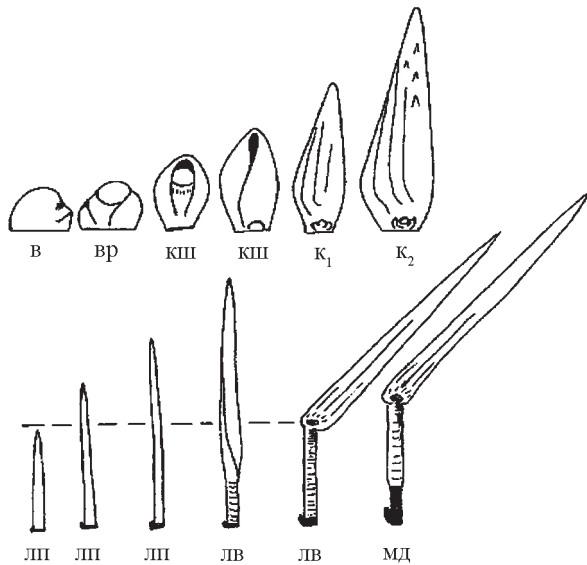


Рис. 1 – Последовательное преобразование эмбриональных морфоструктур фитомера пшеницы (от в по к₂) и последующие этапы роста его листовой пластинки (лп), листового влагалища (лв) и междоузлия (мд)

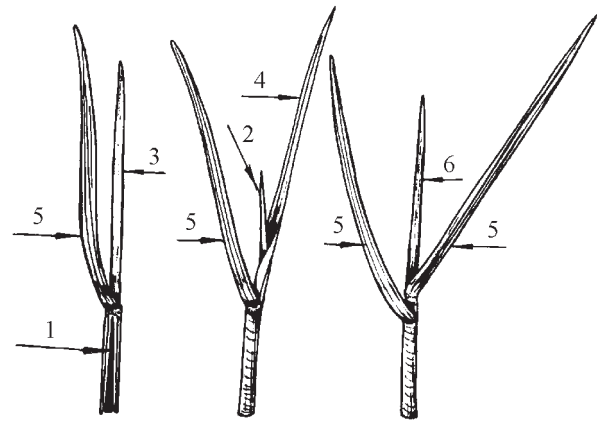


Рис. 2 – Этапы роста листовой пластинки:

5 – первый и второй листья, окончившие рост; 3 и 4 – явные этапы роста второго листа над влагалищем сформированного первого; 1 – скрытый (внутри листовой пластинки второго листа и листового влагалища первого) и явный (2 и 6) рост третьего листа; 1-1, 1-2, 2-1 – морфологические состояния (морфофазы) побега, где в левой позиции – число сформированных, а в правой – число растущих листьев на явном этапе их роста

1. Формирование побега пшеницы как системы фитомеров в вегетативный период

Морфо-фазы побега	Ход формирования эмбриональных структур фитомера в необратимой последовательности в–вр–кш–к ₁ –к ₂ и последовательный рост его листовой пластинки (лп), листового влагалища (лв) и междоузлия (мд)													
	колеоптиле (кл) и порядковые номера фитомеров													
	кл	1	2	3	4	5	6	7						
0–0	К	К₁	КШ	ВР										
0–кл	кл	лп		К₁	КШ	В								
кл–1		лп	лв	лп		К₁	ВР	В						
кл–2			лв	лп		К₂	КШ	ВР	В					
1–1			лв	лп	лв	лп		К₁	ВР	ВР	В			
1–2			мд		лв	лп		К₂	КШ	ВР	ВР			
2–1					лв	лп	лв	лп		К₁	КШ	ВР		
2–2					мд		лв	лп		К₂	КШ	ВР		
3–1							лв	лп	лв	лп		К₁	КШ	
3–2							мд		лв	лп		К₂	КШ	
4–1									лв	лп	лв	лп		К₁
4–2									мд		лв	лп		К₂
5–1										лв	лп	лв	лп	
5–2										мд		лв	лп	
6–1												лв	лп	лв
6–2												мд		лв
7–1														лв
7–2														мд

Примечания:

0–0: исходное строение зародыша побега зрелой зерновки.

Эмбриональные структуры фитомера: в – валик, вр – воротничок, кш – капюшон, к₁ – колпачок с заложённой в его основании точкой роста и зачатком предлиста будущего бокового побега, к₂ – колпачок с точкой роста, зачатком предлиста и зачатком первого листа будущего бокового побега.

0–кл: морфофаза прорастания, далее кл–1, кл–2, 1–1, 1–2, ... 4–1, 4–2, ... 7–1, 7–2: морфофазы (ростовые формообразовательные акты) побега, где в левой позиции – число окончивших рост, а в правой – число растущих органов побега (колеоптиле, листья), лп – этап скрытого роста листовой пластинки фитомера

объединяющем фитомеры в составе побега в единую целостную систему. Результаты таких согласованных ростовых формообразовательных актов выражаются в необратимой последовательности дискретных возрастных морфологических состояний (морфофаз) побега, которые чётко фиксируются по соотношению уже выросших и ещё растущих органов (колеоптиле, листья). Фенофазы являются интегральными отрезками жизни побега и состоят из морфофаз. В вегетативный период на конусе закладываются поочередно зачатки фитомеров по одному за морфофазу.

3. Каждая морфофаза побега характеризуется только ей присущим общим числом фитомеров и их морфологическим состоянием.

В модели (табл. 1) по вертикали получают отражение ход формирования фитомеров у

побегов последовательно увеличивающегося возраста (последовательно сменяющихся морфофаз). По горизонтали получают отражение общее число фитомеров побега конкретной морфофазы и морфологическое состояние каждого из них.

Такая модель обладает новыми познавательными возможностями, в том числе и возможностью измерения длительности акцепторной зависимости фитомеров. Общая длительность формирования фитомеров (Y) от заложения их зачатков в виде валика (в) или воротничка (вр) и по окончании формирования междоузлия (мд) упорядоченно связана с положением фитомера в побеге, которое может быть отражено его порядковым номером (X): $Y = X + 7$, где X – порядковый номер фитомера. В общую длительность формирования первых двух фитомеров от начала

2. Границы периодов вегетативного (●), периода заложения зачатков колосков (▲), цветков (■) и времени начала отмирания (сброса) цветков (◆) у растений пшениц с различным общим числом листьев их главного побега

Последовательные морфофазы побега и их порядковые номера	28							12-кc
	27							12-0' ◆
	26						11-кc	■ 12-0
	25						11-0' ◆	■ 11-1'
	24					10-кc	■ 11-0	■ 11-1
	23					10-0' ◆	■ 10-1'	■ 10-2
	22				9-кc	■ 10-0	■ 10-1	■ 10-1
	21				9-0' ◆	■ 9-1'	■ 9-2	■ 9-2
	20			8-кc	■ 9-0	■ 9-1	■ 9-2	■ 9-1 ▲
	19			8-0' ◆	■ 8-1'	■ 8-2	■ 8-2	■ 8-2 ▲
	18		7-кc	■ 8-0	■ 8-1	■ 8-1	■ 8-1 ▲	8-1 ▲
	17		7-0' ◆	■ 7-1'	■ 7-2	■ 7-2	■ 7-2 ▲	7-2 ▲
	16	6-кc	■ 7-0	■ 7-1	■ 7-1	■ 7-1 ▲	7-1 ▲	7-1 ▲
	15	6-0' ◆	■ 6-1'	■ 6-2	■ 6-2	■ 6-2 ▲	6-2 ▲	6-2 ▲
	14	■ 6-0	■ 6-1	■ 6-1	■ 6-1 ▲	6-1 ▲	6-1 ▲	6-1 ▲
	13	■ 5-1'	■ 5-2	■ 5-2	■ 5-2 ▲	5-2 ▲	5-2 ▲	5-2 ▲
	12	■ 5-1	■ 5-1	■ 5-1 ▲	5-1 ▲	5-1 ▲	5-1 ▲	5-1 ▲
	11	■ 4-2	■ 4-2	■ 4-2 ▲	4-2 ▲	4-2 ▲	4-2 ▲	4-2 ▲
	10	■ 4-1	■ 4-1 ▲	4-1 ▲	4-1 ▲	4-1 ▲	4-1 ▲	● 4-1
	9	■ 3-2	■ 3-2 ▲	3-2 ▲	3-2 ▲	3-2 ▲	● 3-2	● 3-2
8	■ 3-1 ▲	3-1 ▲	3-1 ▲	3-1 ▲	● 3-1	● 3-1	● 3-1	
7	■ 2-2 ▲	2-2 ▲	2-2 ▲	● 2-2	● 2-2	● 2-2	● 2-2	
6	2-1 ▲	2-1 ▲	● 2-1	● 2-1	● 2-1	● 2-1	● 2-1	
5	1-2 ▲	● 1-2	● 1-2	● 1-2	● 1-2	● 1-2	● 1-2	
4	● 1-1	● 1-1	● 1-1	● 1-1	● 1-1	● 1-1	● 1-1	
3	● кл-2	● кл-2	● кл-2	● кл-2	● кл-2	● кл-2	● кл-2	
2	● кл-1	● кл-1	● кл-1	● кл-1	● кл-1	● кл-1	● кл-1	
1	● 0-кл	● 0-кл	● 0-кл	● 0-кл	● 0-кл	● 0-кл	● 0-кл	
	6	7	8	9	10	11	12	

Число листьев главного побега

заложения зачатка и по окончании формирования междоузлия (мд) входит время их морфогенеза в эмбриональный период и время их формирования начиная с прорастания (морфофаза 0-кл).

Длительность акцепторной зависимости первых двух фитомеров от начала заложения зачатка и по первый этап скрытого роста листовой пластинки (лп в модели выделено жирным шрифтом) равна четырём морфофазам. Длительность акцепторной зависимости (Y) фитомеров третьего и последующих упорядоченно возрастает в зависимости от порядкового номера (X) фитомера: $Y = X + 2$. Анализ модели позволяет отметить, что в общей длительности формирования фитомеров период акцепторной зависимости фитомера значительно превосходит период формирования его листовой пластинки – от появления её под непосредственное освещение и по окончании формирования листа. Так, зависимый акцепторный период пятого фитомера равен семи морфофазам (в–вр–вр–кш–к₁–к₂–лп), тогда как период автотрофного питания (это морфофазы 3–2, 4–1, 4–2 и 5–1) равен четырём морфофазам.

Длительность акцепторной зависимости колоса начинается с началом перехода побега в репродуктивное состояние, когда после заложения зачатка флагового листа в следующую морфофазу на конусе начинается заложение зачатка будущего колосоносного междоузлия и первых члеников будущего колоса.

Исследования показали, что переход в репродуктивное состояние, время окончания заложения зачатков колосков и выхода в трубку, время начала отмирания (сброса) части менее развитых зачатков цветков связаны с общим числом листьев главного побега и его конкретными морфофазами, т.е. связаны с внутренним возрастным состоянием побега (табл. 2).

Общая длительность акцепторной зависимости формирующегося колоса (Y) побега находится в упорядоченной связи с общим числом его листьев (X): $Y = X + 5$.

Вывод. Закономерности морфогенеза побега создают возможность измерения длительности акцепторной зависимости фитомеров и колоса от заложения их зачатков на конусе нарастания и по последний этап их скрытого роста. Длительность акцепторной зависимости (Y) фитомеров третьего и последующих упорядоченно возрастает в зависимости от порядкового номера (X) фитомера: $Y = X + 2$. Общая длительность акцепторной зависимости формирующегося колоса (Y) побега также упорядоченно связана с общим числом его листьев (X): $Y = X + 5$.

Литература

1. Серебрякова Т.И. Морфогенез побегов и эволюция жизненных форм злаков. М.: Наука, 1971. 360 с.
2. Курсанов А.Л. Транспорт ассимилятов в растении. М.: Наука, 1976. 647 с.
3. Козлечков Г.А. Системный подход к познанию морфогенеза растений // Вестник сельскохозяйственной науки. 1986. № 11. С. 64–70.
4. Козлечков Г.А. Новые закономерности формирования элементов продуктивности растений пшеницы в процессе морфогенеза. Новочеркасск: Лик, 2010. 303 с.